纳米微晶纤维素对炭黑补强天然橡胶 硫化特性和耐老化性能的影响(一)

古 菊*, 陈宛涓, 林 路, 罗远芳, 贾德民 (华南理工大学材料科学与工程学院, 广东 广州 510640)

摘要:研究纳米微晶纤维素(NCC)部分取代炭黑(CB)对天然橡胶(NR)硫化特性、老化性能和热稳定性能的影响。结果表明:NCC部分取代CB,NR/NCC/CB复合材料的CB网络结构减弱,复合材料的 t_{10} 延长, t_{90} 缩短,转矩降低;NCC用量增大、硫化温度提高,复合材料的硫化速率常数增大;用10份NCC等量取代CB,复合材料的硫化反应活化能降低,耐热和耐高温老化性能较好;随着NCC用量增大,复合材料的5%质量损失温度有所下降,最大质量损失速率有所增大,最大质量损失温度变化不大,表观交联密度下降;加入粘合剂RH,复合材料的表观交联密度增大。

关键词: 纳米微晶纤维素; 天然橡胶; 炭黑; 复合材料; 粘合剂RH; 硫化特性; 耐老化性能

纤维素是自然界丰富的可再生资源之一,其在 橡胶补强领域的应用研究有大量报道[1-13]:纤维素 不仅能够补强天然胶乳,而且能够作为第二补强填 料在橡胶中起到多重作用; 在一定的制备工艺下, 加入纤维素有助于提高橡胶的物理性能和耐老化性 能,降低生热,改善加工性能,解决硫化胶不溶、 不熔、降解难等问题。本课题组对天然橡胶(NR) /纳米微晶纤维素(NCC)复合材料的制备、结构与 性能进行了一系列的研究[6-13]发现: NCC部分替代 炭黑(CB)的NR/NCC/CB复合材料的拉断伸长率提 高,拉伸强度和撕裂强度变化不大或略有增长,耐 屈挠龟裂性能改善, 压缩疲劳温升和压缩永久变形 减小,玻璃化转变温度差异不大,0℃的损耗因子 (tan δ) 略有减小, 60 ℃的tan δ 明显减小; NCC 替代5~20份CB, 复合材料仍能保持高耐磨性能; NCC为10份时复合材料的综合性能最好:加入粘合剂 RH, NR/NCC/CB复合材料的培恩效应明显减弱,物 理性能、耐屈挠龟裂性能和耐磨性能进一步改善, 压

基金项目: 国家自然科学基金项目(51173046); 国家自然科学基金-广东省联合基金资助项目(U1134005)

*通讯联系人

缩疲劳温升和压缩永久变形更小。本工作对NR/NCC/CB复合材料的硫化特性和耐老化性能进行研究。

1 实验

1.1 原材料

天然胶乳,固含量61.7%,广州第十一橡胶厂提供;微晶纤维素(MCC),高要市高丽助剂厂产品;NCC,自制;炭黑N330,台湾中国合成橡胶股份有限公司产品;硫酸,分析纯,广东省化学试剂工程技术研究开发中心提供;无水氯化钙,分析纯,天津市福晨化学试剂厂产品;粘合剂RH[间苯二酚-六亚甲基四胺络合物(物质的量比1:1)],江苏国立化工科技有限公司产品;其他均为市售工业级产品。

1.2 基本配方

NR, 100; NCC+炭黑N330, 45; 氧化锌, 5; 硬脂酸, 2; 粘合剂RH, 变量; 促进剂CZ, 1.5; 促进剂DM, 0.5; 防老剂4010NA, 1.5; 硫黄, 1.5。

1.3 主要仪器与设备

XK-160型双辊开炼机,上海橡胶机械一厂产品; UR-2030型硫化仪、U-CANUA-2071B型老化试验箱和U-CANUT-2060型电子拉力机,台湾优肯科技

股份有限公司产品。

1.4 材料制备

1.4.1 NCC

将MCC与硫酸(质量分数64%)放入烧瓶中,在 45℃下搅拌加热0.5 h,将产物用去离子水稀释,洗 涤离心分离至溶液pH值约为7,得到NCC悬浮液。

1.4.2 NR/NCC复合物

将NCC悬浮液与天然胶乳按一定比例混合,放入干净的烧杯中,在室温下用搅拌器搅拌15 min,使其混合均匀。将混合物倒入洁净托盘中,用10%的氯化钙水溶液进行凝聚共沉,用清水冲洗共沉物,除去盐类等杂质,共沉物在鼓风烘箱中于70 ℃干燥至恒质量,得到NR/NCC复合物。

1.4.3 NR/NCC/CB复合材料

胶料在开炼机上混炼,辊速比为1:1.4。加料顺序为:NR/NCC复合物→氧化锌、硬脂酸→CB、粘合剂RH→促进剂、防老剂→硫黄,打三角包5次,薄通8次,混炼均匀后下片,停放24 h。

1.5 性能测试

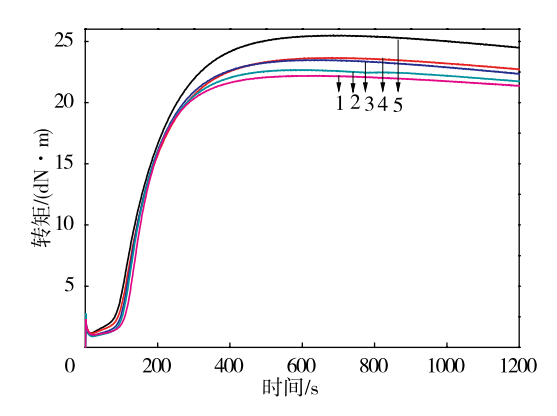
胶料各项性能均按相应国家标准进行测试。

2 结果与讨论

2.1 NCC对复合材料硫化特性的影响

143 ℃时NR/NCC/CB复合材料的硫化曲线如图1 所示, 硫化特征参数如表1所示。

从图1和表1可以看出:加入NCC,复合材料的 焦烧时间 t_{10} 延长,这有利于提高加工安全性;正硫化 时间 t_{20} 缩短,反映了NCC具有促硫化作用; M_{1} 和 M_{H}



CB/NCC用量比: 1—25/20; 2—30/15; 3—35/10; 4—40/5; 5—45/0。

图1 NR/NCC/CB复合材料143 ℃的硫化曲线

表1 NR/NCC/CB复合材料143 ℃的硫化特征参数

NCC/CB用量比	$t_{10}/{\rm s}$	t_{90}/s	$M_{ m L}$ / (dN · m)	$M_{\rm H}/$ (dN·m)
0/45	95	341	1.12	25.49
5/40	101	331	1.15	23.66
10/35	105	314	0.98	23.48
15/30	107	299	0.90	22.68
20/25	115	290	1.02	22.20

均减小,表明NCC的存在使复合材料的交联密度略 微降低,这是因为NCC的加入使CB的网络化程度减弱^[8],复合材料的交联程度下降。

2.2 NCC对复合材料硫化动力学的影响

用硫化曲线研究橡胶硫化反应动力学。由于高分子交联是转矩变化的根本原因,橡胶硫化交联程度与转矩基本呈正比关系,因此橡胶硫化反应速率可用转矩变化的速率V来表示[14]:

 $V=-d(M_H-M_t)/dt=K(M_H-M_t)^n$ (1) 式中, M_H 为最大转矩, M_t 为硫化时间t时的转矩,K为反应速率常数,n为反应级数。

当反应为一级反应时,则由积分式(1)得:

 $\ln \left(M_{\text{H}} - M_{\text{t}} \right) = B - Kt \tag{2}$

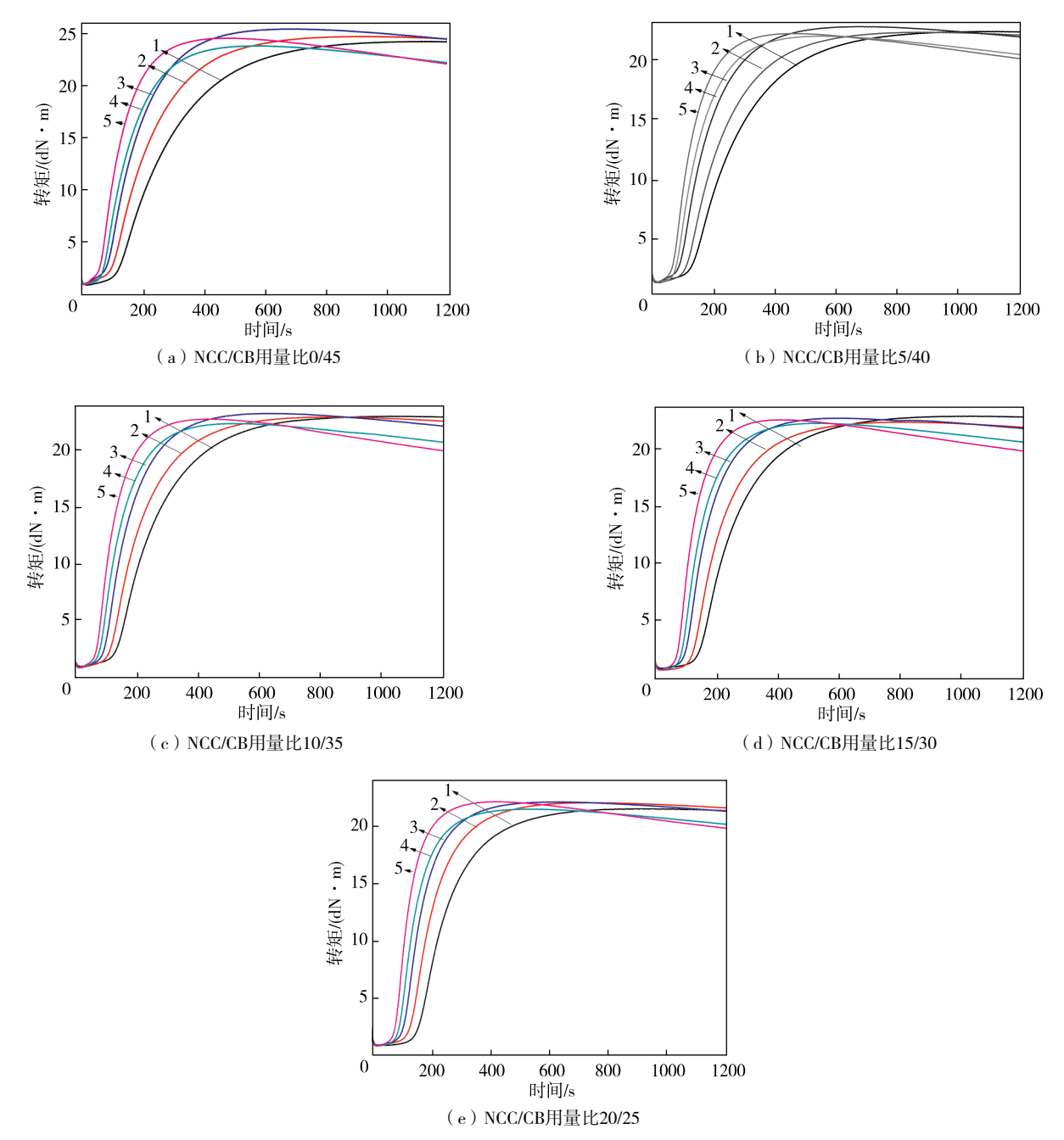
式中,B为积分常数。

以 $-\ln (M_H - M_t)$ 对t作图,所得直线的斜率为K。

橡胶硫化过程可分为3个阶段,即硫化诱导阶段、热硫化阶段和平坦硫化阶段。诱导阶段和热硫化阶段为一级反应^[14],符合(2)式。

硫化温度不同的NR/NCC/CB复合材料的硫化曲线如图2所示,根据图2中的硫化曲线得出的K如表2所示。

从图2可以看出,复合材料137 ℃的硫化为欠硫 硫化,140 ℃的硫化有较长的平坦期,145 ℃以上的 硫化则表现出过硫现象。从表2可以看出,硫化温度



硫化温度: 1—137 ℃; 2—140 ℃; 3—143 ℃; 4—145 ℃; 5—148 ℃。

图2 NR/NCC/CB复合材料不同硫化温度下的硫化曲线

表2 NR/NCC/CB复合材料不同硫化温度下的K

NCC/CB用量比 一	K/(mol·L ⁻¹ ·s ⁻¹)				
	137 ℃	140 ℃	143 ℃	145 ℃	148 ℃
0/45	0.0057	0.0071	0.0096	0.0112	0.0140
5/40	0.0060	0.0076	0.0099	0.0123	0.0150
10/35	0.0068	0.0081	0.0108	0.0131	0.0160
15/30	0.0069	0.0088	0.0116	0.0132	0.0180
20/25	0.0080	0.0101	0.0122	0.0143	0.0178

升高,复合材料的K增大;NCC取代CB的量越大,复合材料的K越大。

采用阿伦尼乌斯方程^[15]表征K与绝对反应温度T的关系,其微分式为:

$$d \ln K/d T = E_a/RT^2 \tag{3}$$

解微分方程,得到:

$$\ln K = -E_{a}/RT + \ln A \tag{4}$$

式中, E_a 为反应活化能,R为气体常数,A为指前因子(单位与K相同)。将 $\ln K$ 对1/T做图,所得直线斜率为反应活化能 E_a ,截距为 $\ln A$ 。

根据表2数据以lnK对1/T做图,如图3所示。NR/NCC/CB复合材料的E_a如表3所示。从表3可以看出:NCC用量为10份和20份时,复合材料的E_a小于未加入NCC的复合材料。研究表明^[9]:NCC用量为20份时,复合材料的NCC团聚现象较严重,导致复合材料的物理性能相对较差;NCC用量为10份时,复合材料的综合性能最好。

2.3 粘合剂RH对复合材料硫化特性的影响

粘合剂RH在高温下能够分解出酚、甲基、胺等自由基, 硫化时这些自由基参与橡胶的硫化交联反应。143 ℃时NR/NCC/CB复合材料的硫化曲线如图4 所示, 硫化特征参数如表4所示, 其中NCC/CB用量比为10/35。

从图4和表4可以看出:加入粘合剂RH,复合材料的 t_{10} 明显缩短, M_{L} 增大,表明粘合剂RH对交联有促进作用;粘合剂RH用量增大, M_{H} 增大,这是粘合剂RH参与硫化使橡胶交联密度增大所致,粘合剂RH用量达6份以后 M_{H} 变化不大;粘合剂RH用量对胶料的 t_{90} 影响不大。

2.4 粘合剂RH对复合材料硫化动力学的影响 粘合剂RH用量不同的NR/NCC/CB复合材料的硫

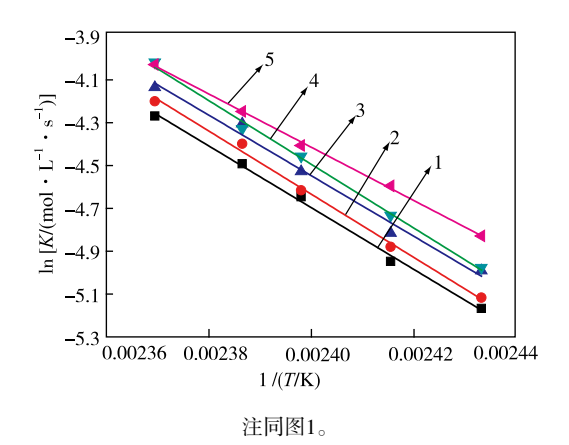
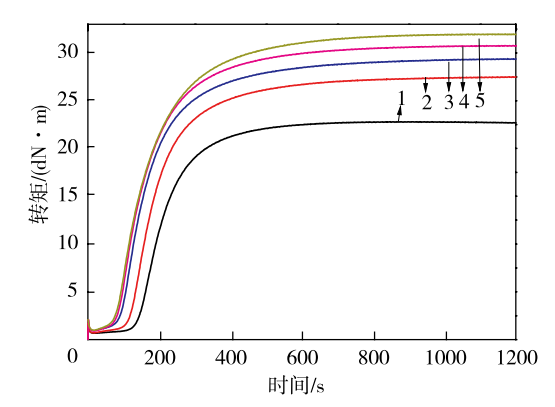


图3 NR/NCC/CB复合材料的InK与1/T的关系

表3 NR/NCC/CB复合材料的Ea

NCC/CB用量比	$E_{\rm a}$ / (kJ · mol ⁻¹)
0/45	119.880
5/40	122.723
10/35	117.610
15/30	123.737
20/25	103.468



粘合剂RH用量: 1-0; 2-2份; 3-4份; 4-6份; 5-8份。

图4 粘合剂RH用量不同的NR/NCC/CB复合材料 143 ℃硫化曲线

表4 粘合剂RH用量不同的NR/NCC/CB/RH复合材料143 ℃硫化特征参数

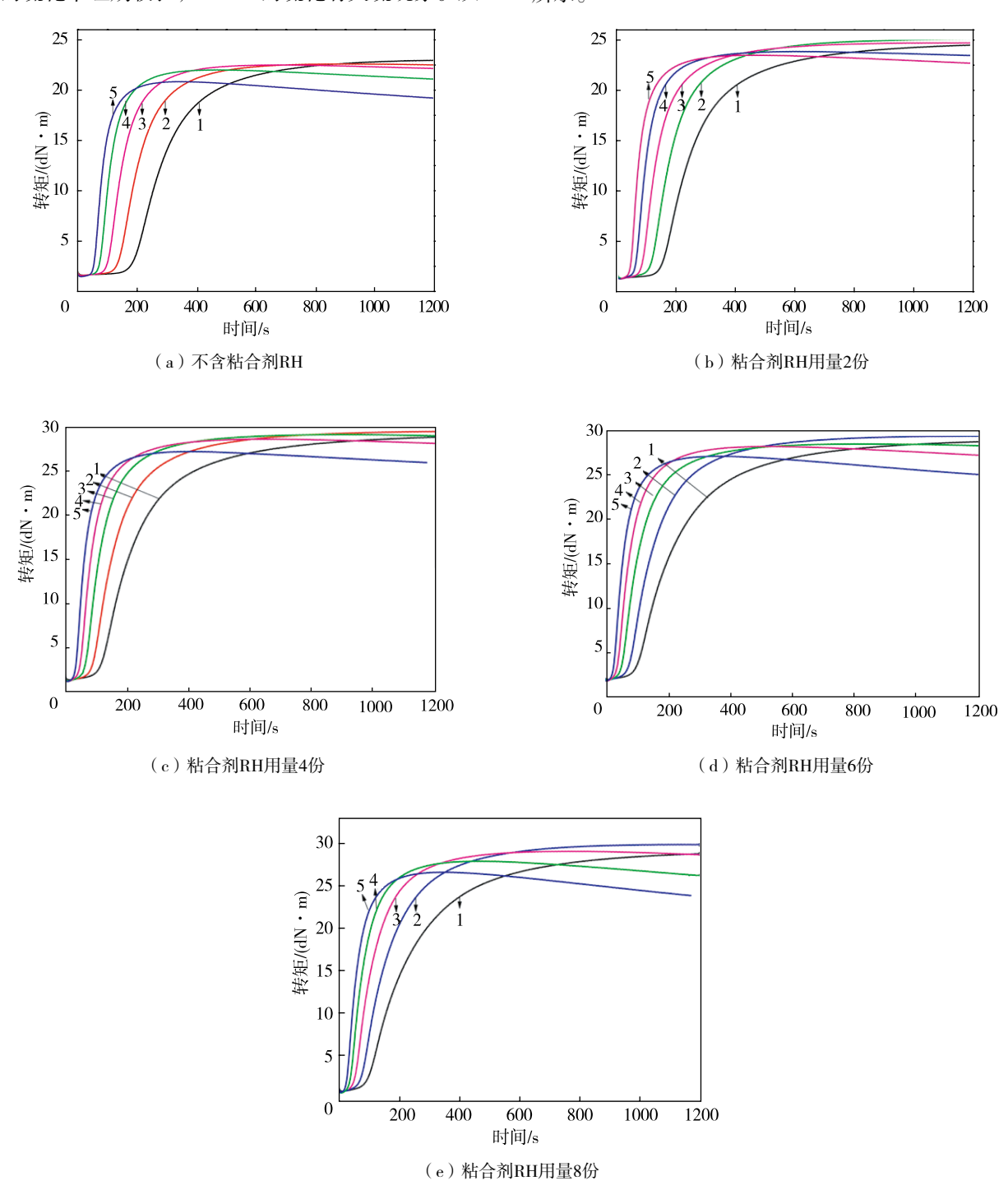
粘合剂RH用量/份	t ₁₀ /s	t ₉₀ /s	$M_{\rm L}$ / (dN·m)	$M_{\rm H}/$ (dN·m)
0	148	358	0.67	22.80
2	125	375	0.70	27.49
4	101	368	1.16	29.38
6	92	358	0.90	30.77
8	89	376	0.98	31.97

化曲线如图5所示。根据图5得到的K如表5所示,其中NCC/CB用量比为10/35。

从图5可以看出,在不同的粘合剂RH用量下,复合材料158 ℃的硫化有明显的过硫现象,148 ℃和143 ℃的硫化平坦期较长,138 ℃的硫化有欠硫现象。从

表5可以看出,在不同的粘合剂RH用量下,随着硫化 温度升高,复合材料的K增大。

根据表5数据以 $\ln K$ 对1/T作图,如图6所示。粘合剂RH用量不同的NR/NCC/CB复合材料的 E_a 如表6所示。



硫化温度: 1—138 ℃; 2—143 ℃; 3—148 ℃; 4—153 ℃; 5—158 ℃。

图5 粘合剂RH用量不同的NR/NCC/CB复合材料的硫化曲线

A HAMMAN TO THE TOTAL THE TOTAL TO THE TOTAL					
粘合剂RH用量/份 —	$K\!/\!(\mathrm{mol}\cdot\mathrm{L}^{ ext{-}1}\cdot\mathrm{s}^{ ext{-}1})$				
	138 ℃	143 ℃	148 ℃	153 ℃	158 ℃
0	0.0057	0.0089	0.0119	0.0169	0.0224
2	0.0049	0.0066	0.0073	0.0130	0.0160
4	0.0047	0.0062	0.0084	0.0108	0.0178
6	0.0047	0.0060	0.0089	0.0134	0.0194
8	0.0046	0.0062	0.0093	0.0152	0.0199

表5 粘合剂RH用量不同的NR/NCC/CB复合材料的K

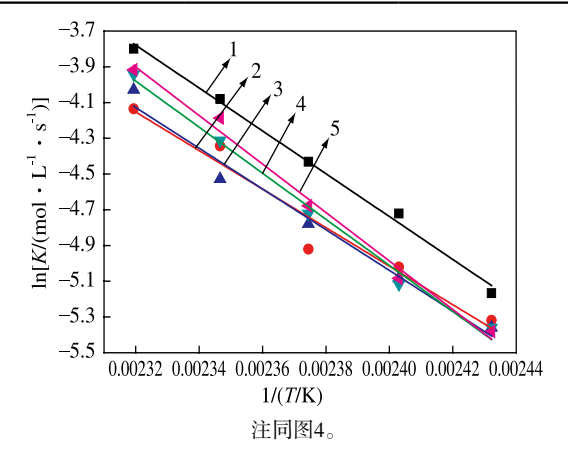


图6 粘合剂RH用量不同的NR/NCC/CB复合材料 In K与1/T的关系

表6 粘合剂RH用量不同的NR/NCC/CB复合材料的E。

粘合剂RH用量/份	$E_{\rm a}$ / (kJ • mol ⁻¹)
0	99.485
2	89.625
4	94.713
6	107.151
8	112.746

从图6和表6可以看出:加入少量粘合剂RH可降低复合材料的E_a,有助于硫化反应进行,这是粘合剂RH的促交联作用所致,与硫化曲线分析结果相符;粘合剂RH用量大于4份后,随着粘合剂RH用量增大,E_a增大。 (未完待续)



俄罗斯轮胎市场将稳步增长

据全球性市场研究和咨询机构加拿大TechSci 公司的研究报告,到2018年,俄罗斯轮胎市场将 以年均13%的速度增长。

《俄罗斯轮胎市场预测与机会——2018》报告指出,俄罗斯轮胎市场的增长将继续受到汽车产业的推动,乘用车轮胎占俄罗斯轮胎市场的大半份额。俄罗斯矿业的不断发展也带动了非公路用轮胎的高速增长,普利司通公司、白俄罗斯轮胎(JSC Belshina Belarus Tyre Works)公司、横滨橡胶有限公司、下卡姆斯克(JSC

Nizhnekamskshina)公司等对这一细分市场的关注与日俱增。

随着可支配收入的快速增长,俄罗斯成为欧洲表现最好的经济体之一。不过,该国的车辆保有率较低,2012年每1000人只拥有290辆汽车。低汽车保有率表明汽车市场还有很大的发展空间。一些外国汽车制造商纷纷在俄罗斯建设新工厂或扩大现有汽车产能。汽车产业将引领轮胎市场繁荣发展。

朱永康